

Heterocyclische β -Enaminoester, 41¹⁾

**Vinylogieprinzip bei 6,7-Dihydro-1*H*-azepinen;
Cycloaddition und neuartige Umlagerung
zu 2,3,3a,7a-Tetrahydroindolen. –
Thermische [2 + 2]-Cycloadditionen mit 4-R-TAD**

*Heinrich Wamhoff^{*a}, Franz-Josef Faßbender^a, Georg Hendrikx^{a3)},
Heinrich Puff^b und Petra Woller^b*

Institut für Organische Chemie und Biochemie der Universität Bonn^a und
Anorganisch-Chemisches Institut der Universität Bonn^b,
Gerhard-Domagk-Straße 1, D-5300 Bonn 1

Eingegangen am 10. Mai 1985; in geänderter und erweiterter Fassung am 10. Januar 1986

6,7-Dihydrooxepine, -thiepine und -azepine (**1–5**) zeigen eine ausgeprägte Alternanz ihrer ^{13}C -NMR-Verschiebungen im konjugierten π -System. Das 6,7-Dihydroazepin **3** reagiert mit Acetylendicarbonsäureestern zunächst unter Cycloaddition-Ringerweiterung an der 4,5-Doppelbindung zu den intermediären 8,9-Dihydro-1*H*-azoninen **6B**. Diese ergeben sogleich unter thermischem 6π -Elektronenringschluß die Indole **7a, b**. Nach erneuter Umlagerung entstehen 2,3,3a,7a-Tetrahydroindole **8a, b**; die Konstitution von **8a** wird durch Röntgenstrukturanalyse ermittelt. Mit 4-R-1,2,4-Triazolin-3,5-dionen (4-R-TAD) entstehen aus **3** und **5** in polarer [2 + 2]-Cycloaddition die [1,2,4]Triazolo[1',2':1,2]diazet[3,4-*d*]azepine **10a–d** und **11a, b**, mit dem Bis-TAD **12** das 2:1-Addukt **13**. **10a** ergibt mit Phenylisocyanat das Carbodiimid **14** und beim basischen Ringschluß das Pyrimido[4,5-*b*]azepin **15**.

Heterocyclic β -Enamino Esters, 41¹⁾

Vinylogeous Principle on 6,7-Dihydro-1*H*-azepines; Cycloaddition and Novel Rearrangement to 2,3,3a,7a-Tetrahydroindoles. – Thermal [2 + 2]-Cycloadditions with 4-R-TAD

The conjugated π -systems of 6,7-dihydrooxepines, -thiepines, and -azepines (**1–5**) show a remarkable alternance of their ^{13}C NMR shifts. In a cycloaddition-ring enlargement sequence the 6,7-dihydroazepine **3** reacts with acetylenedicarboxylates at the 4,5-double bond to afford first the intermediary 8,9-dihydro-1*H*-azonines **6B**. These give in turn the indoles **7a, b** via thermal 6π -electron cyclization. Under subsequent rearrangement 2,3,3a,7a-tetrahydroindoles **8a, b** are formed. The structure of **8a** is established by X-ray diffraction. In a polar [2 + 2]-cycloaddition 4-R-1,2,4-triazoline-3,5-dione (4-R-TAD) gives with **3** and **5** the [1,2,4]triazolo[1',2':1,2]diazet-[3,4-*d*]azepines **10a–d** and **11a, b**, resp., and with the bis-TAD **12** the 2:1-adduct **13**. Treatment of **10a** with phenyl isocyanate originates the carbodiimide **14** which is converted with basic ring closure into the pyrimido[4,5-*b*]azepine **15**.

Kürzlich haben wir über die Synthese von 6,7-Dihydro-1*H*-azepinen aus den Imino-phosphoranen von Δ^2 -Pyrrolin-enaminoestern und Acetylendicarbonsäureester nach dem Prinzip Cycloaddition-Ringerweiterung berichtet⁴⁾. Fast gleichzeitig wurde eine

analoge Ringerweiterungsreaktion an 2-Amino-3-cyan-1-(ethoxycarbonyl)-4,5-dihydropyrrol durchgeführt⁵⁾.

Jetzt legen wir Studien zum Reaktionsverhalten dieser ringerweiterten Azepine gegenüber einem weiteren Äquivalent Acetylendicarbonsäureester vor. Bei dem 7-gliedrigen, um eine Doppelbindung erweiterten konjugierten Enaminoester-Chromophor^{4,6)} spielt das Vinylogieprinzip eine wichtige Rolle.

A. Das Vinylogieprinzip

Bei den push-pull-artig substituierten 7-gliedrigen Enaminoestern **1 – 5** wird an dem um eine C = C-Einheit erweiterten Enaminocarbonyl-Chromophor eine starke Polarisierung der 2,3- sowie eine noch deutlich messbare Polarisierung der 4,5-Doppelbindung induziert; d. h. die ungleiche Ladungsverteilung setzt sich innerhalb des konjugierten π -Systems, wenn auch in abgeschwächter Form, fort. Dieses Vinylogie-Prinzip wird durch ^{13}C -NMR-Daten einiger ausgewählter Beispiele belegt (Tab. 1).

Tab. 1. ^{13}C -NMR-Daten. Vergleich von C-2 bis C-5 bei den Verbindungen **1 – 5** (CDCl_3 , TMS als interner Standard, δ -Werte)

	1	2	3	4	5
C-2	172.20	161.38	161.33	168.09	159.56
C-3	90.90	109.36	92.91	83.54	87.21
C-4	138.39	142.08	136.17	135.78	135.24
C-5	112.64	132.56	117.46	114.00	118.98

Demzufolge läßt sich für heterocyclische β -Enaminoester und ihre Iminophosphorane ein Prinzip der alternierenden Ladungsverteilungen durch induzierte Polarisation⁷⁾ formulieren.

B. Cycloaddition-Ringerweiterungsreaktion und 6π -Elektronenringschluß von **3**

Die Einwirkung von Acetylendicarbonsäureestern bei 150°C (1 h) unter Inertgas auf das Dihydroazepin **3** liefert gelbe Reaktionsprodukte **8a, b**, von denen die Konstitution von **8a** durch Röntgenstrukturanalyse ermittelt worden ist.

Demzufolge sind aus **3** unter Einbeziehung eines weiteren Moleküls Acetylendicarbonsäureester überraschenderweise nicht die erwarteten Azonine, sondern die Indole **8a, b** entstanden. Der von uns diskutierte Bildungsmechanismus ist in Schema 1 wiedergegeben.

Die abgestufte Polarisierung der 4,5-Doppelbindung reicht offensichtlich aus, um eine polare [2 + 2]-Cycloaddition der Acetylenester zu ermöglichen. Die primär gebildeten 4-Azabicyclo[5.2.0]nona-2,8-diene **6A** erleiden sogleich Ringerweiterung zu den 8,9-Dihydro-1*H*-azoninen **6B**. Im Gegensatz zu den früher beschriebenen Ringerweiterungsprodukten (z. B. **1 – 3** bzw. 3,4-Dihydro-2*H*-thiocine⁶⁾) erweisen sich diese

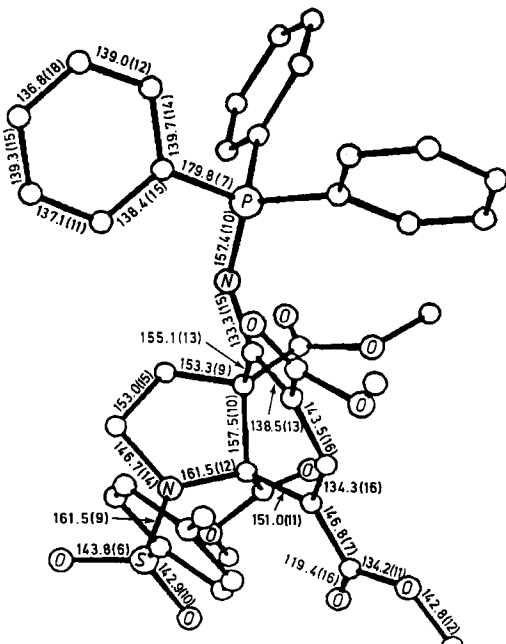


Abb. 1. ORTEP-Darstellung von **8a** mit Bindungsabständen in pm (Standardabweichungen in Klammern)

9-gliedrigen, durch nichtkonzertierte disrotatorische Bindungsöffnung aus **6A** entstandenen 6π -Elektronensysteme mit ihrer *all-cis*-Doppelbindungsanordnung als sehr instabil und reagieren in ähnlicher Weise weiter, wie das von Acheson et al.⁸⁾ untersuchte 1,6-Dihydroazecin, indem thermischer 6π -Elektronenringschluß zum wesentlich energieärmeren 2,3,3a,7a-Tetrahydroindol **7a, b** erfolgt. Aufgrund der ungünstigen Substitution mit sperrigen Substituenten und deren elektronischen Einflüssen stabilisieren sich **7a, b** schließlich unter C-7a \rightarrow C-4-Umlagerung; es resultieren die stabilen 2,3,3a,7a-Tetrahydroindole **8a, b**.

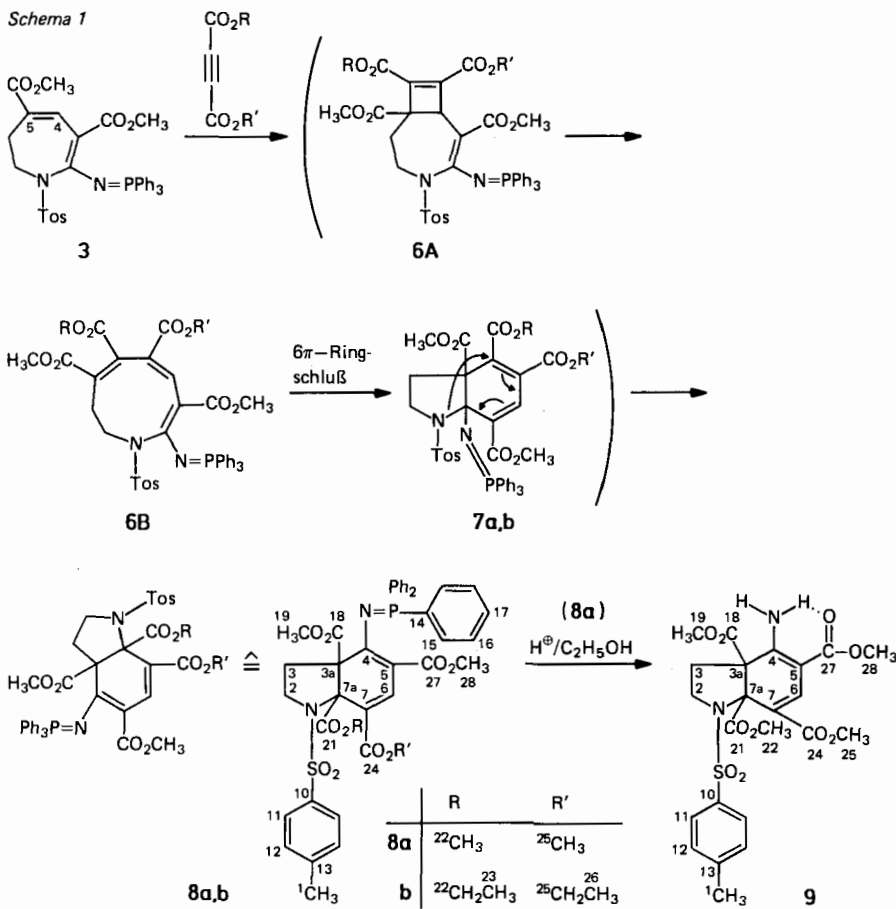
Einen ähnlichen Umlagerungsmechanismus mutmaßen wir bei der Synthese analog gebauter 2,3,3a,7a-Tetrahydro-benzo[*b*]furane, -benzo[*b*]thiophene und -indole, die durch polare [2 + 2 + 2]-Cycloaddition aus Cyanacetylen und den entsprechenden, phosphorylierten heterocyclischen β -Enaminoestern gebildet werden⁹⁾.

Diese neuartige Indolsynthese ergänzt einige neuere Darstellungsmethoden für Indole und Indolalkaloide, z. B. durch Palladium(0)-katalysierten Ringschluß von *N*-Allyl-substituierten 2-Bromanilinen^{10a)} und 2-Brom-3-(allylamino)benzochinonen^{10b)} sowie durch Cycloaddition eines Pyrrol-Carbonyl-Chromkomplexes mit Alkinen^{10c)}.

Die UV-Absorptionsmaxima von **8a, b** sind im Vergleich zu **3** aufgrund besserer Durchkonjugation (starres Molekül; höhere Planarität) deutlich bathochrom verschoben; in den ^1H -NMR-Spektren verändert das Signal von 6-H seine Lage kaum gegenüber dem 4-H-Signal bei **3**. Diese Tieffeldverschiebung ($\delta = 7.9$) resultiert aus der Nachbarschaft zu zwei entschirmenden Estergruppen. Die als Sonde fungierende Iminophosphorangruppe ermöglicht in den ^{13}C -NMR-

Spektren durch ^{13}C - ^{31}P -Kopplung eine wesentlich vereinfachte Zuordnung der Signale (siehe Tab. 3); auch bei **8a, b** wird eine charakteristische Alternanz der ^{13}C -NMR-Verschiebungen festgestellt.

Schema 1



Saure Hydrolyse von **8a** ergibt das freie 4-Aminoindol **9**. Die Protonen der 4-Aminogruppe¹¹⁾ erscheinen im ^1H -NMR-Spektrum als getrennte Signale ($[\text{D}_6]\text{DMSO}$: $\delta = 8.56$, 9.17; CDCl_3 : $\delta = 5.40$, 7.16), indem ein H-Atom chelatartig mit der 5-Estercarbonylgruppe assoziiert ist. Temperaturabhängige ^1H -NMR-Spektroskopie zeigt Koaleszenz bei 77°C , was einer ungefähren Rotationsbarriere von 16.7 kcal/mol entspricht; bei 130°C wird nurmehr ein Signal für die Aminoprotonen (Integrationswert 2H) gefunden (siehe Tab. 2).

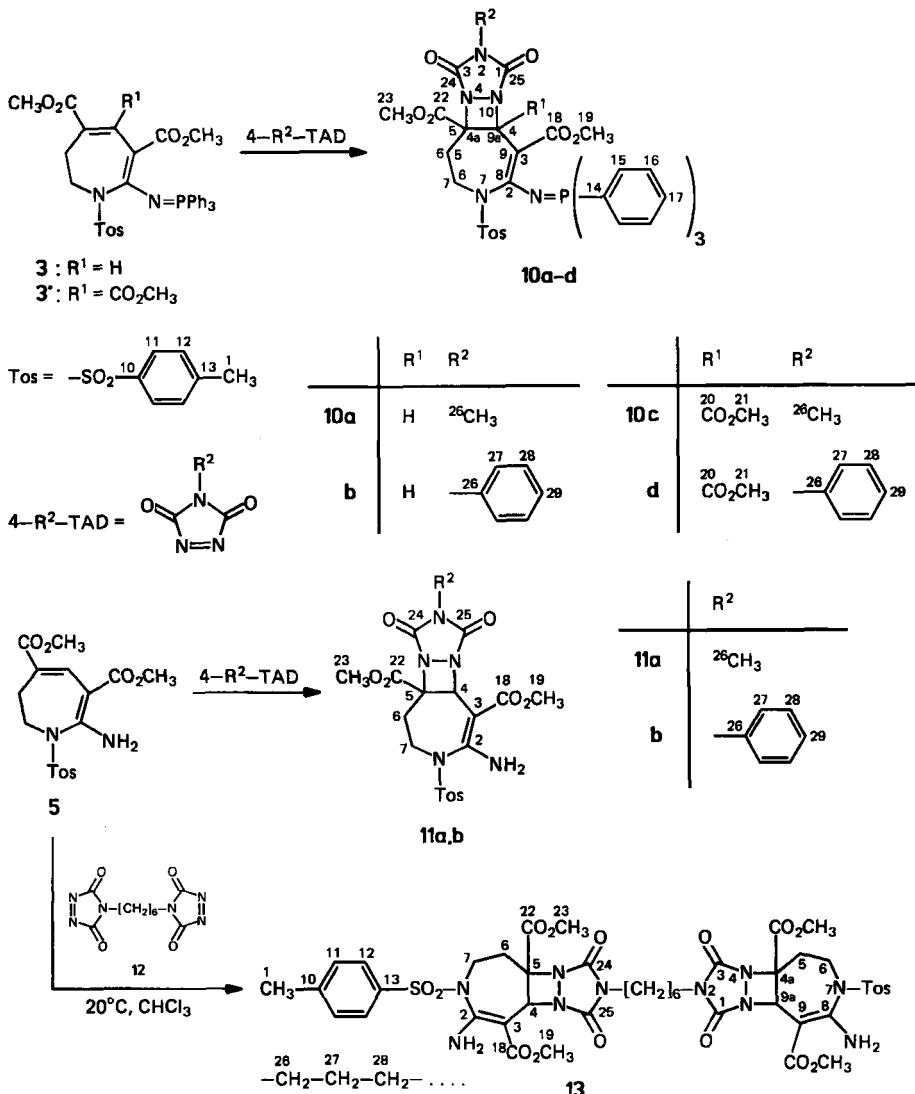
C. Cycloadditionen mit 4-R-TAD

4-Methyl- und 4-Phenyl-1,2,4-triazolin-3,5-dion¹²⁾ („4-Me-TAD, 4-Ph-TAD“) reagieren mit den Iminophosphoranen **3** und **3'** sowie mit dem Enaminoester **5**⁴⁾ nicht

unter $[4 + 2 \rightarrow 6]$ -Cycloaddition. Statt dessen tritt polare^{13)*} $[2 + 2]$ -Cycloaddition der 4-R-TAD an die 4,5-Doppelbindung unter Entstehen des neuen heterocyclischen Systems der [1,2,4]Triazolo[1',2':1,2]diazet[3,4-d]azepine **10a–d** und **11a,b** ein. Bekanntlich ergeben partiell hydrierte heterocyclische β -Enaminoester statt dessen Einschubreaktion des 4-R-TAD am elektronenreichen C-3¹⁴⁾.

Schema 2

Numerierung innen: IUPAC-Nomenklatur; Numerierung außen: NMR-Spektren

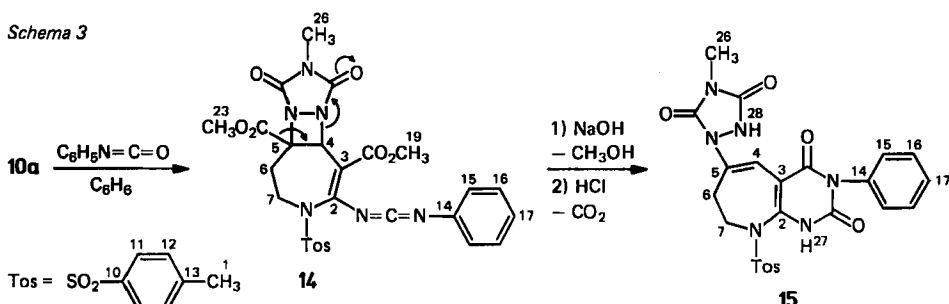


* Anmerkung bei der Korrektur: Im Falle des Biadamantylenids konnte das hierbei postulierte Primäraddukt, ein Aziridiniumimid, inzwischen direkt beobachtet werden²⁰⁾.

Mit dem Bis-TAD **12**¹⁵⁾ und **5** entsteht bei 20°C in Chloroform entsprechend das 2:1-Addukt **13**.

10a ist mit Phenylisocyanat in absol. Benzol glatt in das Carbodiimid **14** überführbar⁴⁾. Unter den Bedingungen des basischen Ringschlusses zum angestrebten tetracyclischen System wird die 5-Estergruppe abgespalten und der Diazetidinring unter Bildung eines 5-Urazolylpyrimido[4,5-*b*]azepins **15** geöffnet.

Schema 3



Dem *Fonds der Chemischen Industrie* und der *Bayer AG* danken wir für die Unterstützung der Arbeit. – G. H. dankt der *Konrad-Adenauer-Stiftung* für ein Promotionsstipendium. – F.-J. F. dankt der *Hanns-Seidel-Stiftung* für ein Promotionsstipendium.

Experimenteller Teil

IR-Spektren: Perkin-Elmer 157-G. – UV-Spektren: Cary-17. – 1H -NMR-Spektren: Bruker WH-90, TMS als interner Standard. – ^{13}C -NMR-Spektren: Bruker WP-80, TMS als interner Standard. – MS: MS-9 und MS-30 der AEI (Kratos). – Schmelzpunkte: Nicht korrigiert. – Elementaranalysen: Analytische Abteilung des Instituts und Mikroanalytisches Laboratorium Dr. F. Pascher, Bonn.

Allgemeine Vorschrift zur Darstellung der 2,3,3a,7a-Tetrahydroindole **8a, b**: 2.0 g (3.1 mmol) **3** werden mit 7 ml Acetylendicarbonsäure-dimethyl(ethyl)ester unter Argon 1 h auf 150°C erhitzt. Nach Erkalten des Reaktionsgemisches wird mit 20 ml Ethanol versetzt. Die ausgefallenen gelben Produkte werden abfiltriert und mit kaltem Ethanol gewaschen. Nach säulenchromatographischer Trennung (Petrolether/Aceton 2:1) wird aus Ethanol umkristallisiert (siehe Tab. 2 – 4).

4-Amino-2,3,3a,7a-tetrahydro-1-(4-methylphenylsulfonyl)indol-3a,5,7,7a-tetracarbonsäure-tetramethylester (**9**): 1.0 g (1.3 mmol) **8a** wird in 50 ml Ethanol, 1 ml Wasser und 1 ml konz. Salzsäure 6 h zum Sieden erhitzt. Anschließend wird das Lösungsmittel verdampft und der Rückstand in wenig Ethanol aufgenommen. Das 4-Aminoindol kristallisiert spontan beim Anreiben (siehe Tab. 2, 3). Ausb. 0.41 g (60%); aus Ethanol gelbe Kristalle vom Schmp. 212°C.

$C_{23}H_{26}N_2O_{10}S$ (522.5) Ber. C 52.87 H 5.09 N 5.36 Gef. C 52.42 H 5.19 N 5.39

Allgemeine Vorschrift zur Darstellung von **10a – d**, **11a, b** und **13**: 5.0 g der Azepine **3**, **3'** bzw. **5**⁴⁾ werden in 500 ml Chloroform gelöst. Bei Raumtemp. wird die äquimolare Menge 4-Methyl- bzw. 4-Phenyl-1,2,4-triazolin-3,5-dion (4-Me- und 4-Ph-TAD), im Fall von **13** 0.5 Äquiv. des Bis-TAD **12**, gelöst in 50 ml Chloroform, unter Röhren zugefügt, wobei die rote Lösung sofort entfärbt wird. Der Endpunkt der Titration wird durch gleichbleibende Rotfärbung der Lösung angezeigt. Wird die Lösung nach einigem Stehenlassen nicht mehr entfärbt, entfernt man das Sol-

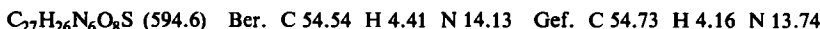
Tab. 2. UV-, IR- und ^1H -NMR-Daten der Verbindungen **8a, b, 9, 10, 11** und **13**

	UV (CHCl_3) λ_{\max} [nm] (lg ϵ)	IR [cm^{-1}] (KBr)				^1H -NMR (CDCl_3 , TMS als interner Standard; δ -Werte, J [Hz] in Klammern)					
		NH	C=O	C=C	P=N	1-H	2-H	3-H	6-H	11-H	12-H
8a	388 (4.33) 293 (3.94)	1740 1725 1690	1605	1350	2.31 s	3.85 t (4.8)	3.71 t (3.5)	7.91 s	7.11 d (8.0)	7.62 d (8.0)	
8b	389 (4.24) 294 (3.70)	1750 1735 1690	1610	1340	2.30 s	3.24 t (10)	2.63 t (10)	7.86 s	7.09 d (8.0)	7.26 d (8.0)	
9	357 (4.08) 275 (4.12)	3610 3510 3400 3200	1740	1605	2.39 s	3.31 t (10)	2.33 t	7.89 s	7.21 d (8.0)	7.62 d (8.0)	
		(15 – 17)-H	19-H	22-H	23-H	25-H	26-H	28-H	NH		
8a		7.32 – 7.64 m	3.44 s	2.85 s	–	2.42 s	–	3.37 s	–		
8b		7.38 – 7.62 m	3.36 s	4.18 q	1.33 t (8.0)	4.14 q	1.18 t (8.0)	2.82 s	–		
9		–	3.82 s	3.73 s	–	3.62 s	–	3.68 s	5.40 s 7.16 s		
		UV (CHCl_3) λ_{\max} [nm] (lg ϵ)	IR [cm^{-1}] (KBr)	C=O	C=C	P=N	Enamino-carbonyl-banden ^a	1-H	^1H -NMR 4-H	6-H	7-H
10a	313 (4.20) 248 (4.19)	1775 1755 1715	1580	1380				2.43 s	5.27 s	3.31 t (7.5)	3.62 t (7.5)
10b	313 (4.32) 251 (4.33)	1780 1755 1715	1595	1380				2.36 s	5.33 s	3.27 t (8)	3.62 t (8)
10c	315 (4.26) 255 (4.17)	1770 1740 1700	1595	1385				2.40 s	–	2.58 t (10)	3.84 t (10)
10d	315 (4.31) 248 (2.27)	1775 1725	1585	1380				2.13 s	–	2.60 t	3.80 t
11a	288 (4.28) 234 (4.10)	3440 3310	1780		1725	1595	1525	2.39 s	5.14 s (10)	2.53 t (10)	3.82 t (10)
11b	288 (4.33) 228 (4.21)	3410 3290	1780		1725	1600	1525	2.31 s	5.20 s (10)	2.58 t (10)	3.82 t (10)
13	288 (4.62) 237 (4.45)	3410 3290	1780		1725	1600	1525	2.36 s	5.12 s (9)	2.51 t (9)	3.87 t (9)
		11-H	12-H	15 – 17-H	19-H	21-H	23-H	26-H		27,28,29-H	
10a	7.42 d (8)	7.82 d (8)	7.44 – 7.91 m	3.11 s		3.69 s	2.84 s			–	
10b	7.40 d (8)	7.84 d (8)	7.36 – 7.96 m ⁺	3.16 s		3.73 s	–		7.36 – 7.86 m ⁺		
10c	7.36 d (8)	7.74 d (8)	7.42 – 7.93 m	2.93 s	3.51 s	3.53 s	2.82 s			–	
10d	7.36 d (8)	7.84 d (8)	7.22 – 7.96 m ⁺	3.00 s	3.54 s	3.56 s	–		7.22 – 7.96 m ⁺		
11a	7.23 d (8)	7.64 d (8)		3.76 s		3.74 s	3.00 s			–	
11b	7.27 d (8)	7.69 d (8)		3.80 s		3.78 s	–		7.38 – 7.56 m		
13	7.21 d (8)	7.62 d (8)		3.76 s		3.72 s	3.49 t		1.24 – 1.78 m		

+ Überlagert. – ^a EI, EII und EIII.

vens und nimmt den Rückstand in Ethanol auf, aus dem die Produkte spontan kristallisieren; Umkristallisation aus Ethanol (siehe Tabb. 2 – 4).

2,3,5,6,7,9a-Hexahydro-2-methyl-7-(4-methylphenylsulfonyl)-1,3-dioxo-8-[(phenylimino-methylen)amino]-1H,4aH-[1,2,4]triazolo[1',2':1,2]diazet[3,4-d]azepin-4a,9-dicarbonsäure-dimethylester (14): Die Lösung von 3.0 g (4.0 mmol) **10a** in 90 ml Benzol wird unter Argon mit 8 ml Phenylisocyanat versetzt und 4 h unter Rückfluß erhitzt. Dann wird das Solvens abgezogen und das zurückbleibende Öl in Ethanol aufgenommen. Nach einigem Stehenlassen bei –15°C fällt das Produkt aus. Ausb. 1.9 g (80.5%), Schmp. 268°C. – UV (CHCl₃): λ_{max} (lg ε) = 292, 258, 232 nm (4.08, 4.13, 4.16). – IR (KBr): 1800, 1740, 1700 (C=O), 1610 cm^{–1} (C=C). – ¹H-NMR (CDCl₃): δ = 2.42 (s, 1-H), 5.00 (s, 4-H), 2.27 (t, 6-H, J = 10 Hz), 3.76 (t, 7-H, J = 10 Hz), 7.31 (d, 11-H, J = 8 Hz), 8.04 (d, 12-H, J = 8 Hz), 7.42 – 7.62 (m, 15 – 17-H), 3.20 (s, 26-H), 4.02 (s, 23-H), 3.73 (s, 19-H). – MS: m/z = 594 (M⁺).



1,7,8,9-Tetrahydro-6-(4-methyl-3,5-dioxo-1,2,4-triazolidin-1-yl)-9-(4-methylphenylsulfonyl)-3-phenyl-2H-pyrimido[4,5-b]azepin-2,4(3H)-dion (15): In 300 ml einer siedenden 5proz. Natronlauge werden portionsweise 2.0 g (3.4 mmol) **14** eingetragen. Das Carboimid **14** geht unter Gelbfärbung in Lösung. Man erhitzt noch 30 min zum Sieden und filtriert heiß ab. Das abgekühlte Filtrat wird mit konz. Salzsäure neutralisiert und der ausgefallene Feststoff abfiltriert. Nach Umkristallisation aus Ethanol Ausb. 0.53 g (30%), Schmp. 291°C. – IR (KBr): 3280 (NH), 1690, 1680 (C=O), 1610 cm^{–1} (C=C). – ¹H-NMR ([D₆]DMSO): δ = 2.33 (s, 1-H), 7.82 (s, 4-H), 3.02 (t, 6-H, J = 6 Hz), 3.69 (t, 7-H, J = 6 Hz), 7.31 (d, 11-H, J = 8 Hz), 7.62 (d, 12-H,

Tab. 3 (Teil A). ¹³C-NMR-Daten der Verbindungen **8a, b** und **9** (CDCl₃, TMS als interner Standard, δ-Werte, J [Hz] in Klammern)

	C-1	C-2	C-3	C-3a	C-4	C-5	C-6	C-7	C-7a
8a	21.35 q	45.84 t	31.33 t	68.49 d (18.4)	169.12 d (1.2)	104.19 d (3.7)	109.16 d	73.51 s	141.91 d (3.6)
8b	21.38 q	45.81 t	31.21 t	68.55 d (18.9)	169.24 d (1.2)	104.37 d (3.7)	109.56 d	73.39 s	141.57 s
9	21.44 q	44.56 t	29.45 t	61.86 s	158.77 s	94.69 s	110.04 d	72.75 s	139.41 s
	C-10	C-11	C-12	C-13	C-14	C-15	C-16	C-17	
8a	137.41 s	128.49 d	127.40 d	141.9 s	130.42 d (106.8)	132.15 dd (10.4)	128.43 dd (12.8)	131.77 dd (3.1)	
8b	137.55 s	128.46 d	127.40 d	141.81 s	130.54 d (106.8)	132.15 dd (10.4)	128.48 dd (12.8)	131.71 dd (3.1)	
9	136.14 s	128.80 d	127.39 d	142.51 s	–	–	–	–	
	C-18	C-19	C-21	C-22	C-23	C-24	C-25		
8a	166.36 s	52.48 q	163.48 s	52.09 q	–	170.67 s	52.57 q		
8b	165.87 s	51.44 t	163.24 s	60.04 t	13.73 q	170.0 s	61.62 t		
9	170.24 s	53.30 q	169.54 s	53.12 q	–	167.63 s	51.78 q		
	C-26				C-27			C-28	
8a	–	–	–	–	165.75 s	–	–	49.84 q	
8b	–	14.31 q	–	–	165.87 s	–	–	49.84 q	
9	–	–	–	–	167.24 s	–	–	52.15 q	

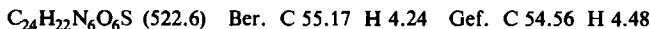
Tab. 3 (Teil B). ^{13}C -NMR-Daten der Verbindungen **10**, **11** und **13** (CDCl_3 , TMS als interner Standard, δ -Werte, J [Hz] in Klammern)

	C-1	C-2	C-3	C-4	C-5	C-6	C-7
10 a	21.44 q	147.94 d (3)	86.35 d	63.95 d	70.17 s	30.82 t	47.11 t
10 b	21.41 q	147.62 d (3)	86.22 d (6.1)	64.04 d	70.42 s	30.91 t	47.17 t
10 c	21.44 q	147.70 d (3)	83.04 d (4.9)	70.02 s	58.19 s	27.30 t	46.47 t
10 d	21.23 q	148.37 d (3)	83.55 d (4.9)	76.88 s	70.29 s	27.54 t	46.32 t
11 a	21.26 q	147.43 s	70.51 s	60.89 d	69.02 s	30.79 t	46.99 t
11 b	21.26 q	147.09 s	70.84 s	60.92 d	69.41 s	31.0 t	47.05 t
13	21.29 q	147.46 s	70.51 s	60.80 d	69.11 s	30.85 t	46.96 t
	C-10	C-11	C-12	C-13	C-14	C-15	C-16
10 a	135.23 s	127.79 d	128.25 d	143.12 s	130.10 d (107.4)	132.88 dd (10.4)	128.23 dd (12.8)
10 b	135.35 s	127.79 d	128.86 d	143.24 s	130.13 d (107.4)	132.91 dd (10.4)	128.29 dd (12.8)
10 c	137.22 s	127.37 d	128.80 d	142.74 s	130.24 d (108.3)	132.85 dd (10.9)	128.20 dd (12.8)
10 d	137.17 s	127.37 d	128.80 d	143.0 s	130.21 d (108.3)	132.88 dd (10.4)	128.26 dd (12.8)
11 a	137.38 s	127.13 d	128.99 d	143.09 s	—	—	—
11 b	137.38 s	127.25 d	128.43 d	142.21 s	—	—	—
13	137.25 s	127.16 d	128.64 d	143.0 s	—	—	—
	C-17	C-18	C-19	C-20	C-21	C-22	C-23
10 a	131.66 dd (3.1)	167.97 s	53.27 q	—	—	167.60 s	50.24 q
10 b	131.72 dd (3.1)	167.60 s	53.36 q	—	—	167.60 s	50.33 q
10 c	131.54 dd (3.1)	167.42 s	52.70 q	166.39 s	52.48 q	167.42 s	50.15 q
10 d	131.60 dd (3.1)	167.42 s	52.79 q	167.42 s	50.27 q	167.42 s	50.27 q
11 a	—	168.76 s	53.82 q	—	—	167.15 s	53.82 q
11 b	—	169.79 s	53.94 q	—	—	167.12 s	53.94 q
13	—	168.76 s	53.79 q	—	—	167.12 s	53.79 q
	C-24	C-25	C-26	C-27	C-28	C-29	
10 a	149.0 s	146.39 s	24.72 q	—	—	—	
10 b	148.22 s	144.94 s	130.89 s	125.97 d	129.46 d	127.98 d	
10 c	149.64 s	144.21 s	24.63 q	—	—	—	
10 d	148.64 s	147.55 s	130.62 s	125.67 d	129.13 d	127.67 d	
11 a	150.89 s	147.09 s	24.99 q	—	—	—	
11 b	150.10 s	147.00 s	129.55 s	125.82 d	129.34 d	129.15 d	
13	151.28 s	147.12 s	39.13 t	27.27 t	25.54 t	—	

Tab. 4. Analytische Daten der Verbindungen 8, 10, 11 und 13

	Name	Aush. [%]	Schmp. [°C]	Summenformel (Molmasse)	Molmasse MS	C	H	N
8a	2,3,3a,7a-Tetrahydro-1-(4-methylphenylsulfonyl)-4-[(triphenylphosphoranylidene)aminol]-3a,5,7,7a-indolitetra carbonsäure-tetramethylester	52	163	C ₄₁ H ₃₈ N ₂ O ₁₀ PS (782.9)	782	Ber. Gef.	62.92 62.83	5.01 5.40
8b	2,3,3a,7a-Tetrahydro-1-(4-methylphenylsulfonyl)-4-[(triphenylphosphoranylidene)aminol]-3a,5,7,7a-indolitetra carbonsäure-dimethylester	43	229	C ₄₁ H ₃₈ N ₂ O ₁₀ PS (810.7)	810	Ber. Gef.	62.59 62.43	5.51 5.42
10a	2,3,5,6,7,9a-Hexahydro-2-methyl-7-(4-methylphenylsulfonyl)-1,3-dioxo-8-[(triphenylphosphoranylidene)aminol]-1H,4aH-[1,2,4]triazolo[1',2':1,2]diazet[3,4-d]azepin-4a,9-dicarbonsäure-dimethylester	81	223	C ₄₁ H ₃₈ N ₂ O ₈ PS (753.8)	753	Ber. Gef.	60.36 60.40	4.80 4.85
10b	2,3,5,6,7,9a-Hexahydro-7-(4-methylphenylsulfonyl)-1,3-dioxo-2-phenyl-8-[(triphenylphosphoranylidene)aminol]-1H,4aH-[1,2,4]triazolo[1',2':1,2]diazet[3,4-d]azepin-4a,9-dicarbonsäure-dimethylester	84	230	C ₄₁ H ₃₈ N ₂ O ₈ PS (813.8)	815	Ber. Gef.	63.31 62.98	4.68 4.66
10c	2,3,5,6,7,9a-Hexahydro-2-methyl-7-(4-methylphenylsulfonyl)-1,3-dioxo-8-[(triphenylphosphoranylidene)aminol]-1H,4aH-[1,2,4]triazolo[1',2':1,2]diazet[3,4-d]azepin-4a,9-dicarbonsäure-dimethylester	42	154	C ₄₀ H ₃₈ N ₂ O ₁₀ PS (811.8)	811	Ber. Gef.	59.18 58.73	4.72 5.08
10d	2,3,5,6,7,9a-Hexahydro-7-(4-methylphenylsulfonyl)-1,3-dioxo-8-[(triphenylphosphoranylidene)aminol]-1H,4aH-[1,2,4]triazolo[1',2':1,2]diazet[3,4-d]azepin-4a,9,9a-tricarbonsäure-trimethylester	48	246	C ₄₀ H ₃₈ N ₂ O ₁₀ PS (873.9)	873	Ber. Gef.	61.85 61.90	4.61 4.55
11a	8-Amino-2,3,5,6,7,9a-hexahydro-2-methyl-7-(4-methylphenylsulfonyl)-1,3-dioxo-8-[(triphenylphosphoranylidene)aminol]-1H,4aH-[1,2,4]triazolo[1',2':1,2]diazet[3,4-d]azepin-4a,9-dicarbonsäure-dimethylester	85	229	C ₂₀ H ₂₄ N ₂ O ₈ S (494.5)	494	Ber. Gef.	48.58 48.94	4.88 4.59
11b	8-Amino-2,3,5,6,7,9a-hexahydro-7-(4-methylphenylsulfonyl)-1,3-dioxo-2-phenyl-1H,4aH-[1,2,4]triazolo[1',2':1,2]diazet[3,4-d]azepin-4a,9-dicarbonsäure-dimethylester	96	230	C ₂₀ H ₂₄ N ₂ O ₈ S (535.6)	556	Ber. Gef.	53.96 54.28	4.70 4.58
13	2,2'-{1,6-Hexanoyl}bis[8-amino-2,3,5,6,7,9a-hexahydro-7-(4-methylphenylsulfonyl)-1,3-dioxo-2-phenyl-1H,4aH-[1,2,4]triazolo[1',2':1,2]diazet[3,4-d]azepin-4a,9-dicarbonsäure-dimethylester]	76	256	C ₄₄ H ₅₂ N ₁₀ O ₁₀ S ₂ (1041.5)		Ber. Gef.	50.76 51.26	5.03 5.02
	2,2'-{1,6-Hexanoyl}bis[8-amino-2,3,5,6,7,9a-hexahydro-7-(4-methylphenylsulfonyl)-1,3-dioxo-2-phenyl-1H,4aH-[1,2,4]triazolo[1',2':1,2]diazet[3,4-d]azepin-4a,9-dicarbonsäure-dimethylester]							13.45 13.59

$J = 8$ Hz), 7.00 – 7.67 (m, 15 – 17-H), 3.36 (s, 26-H), 11.96 (s, 27-H), 12.91 (s, 28-H). – MS: $m/z = 522$ (M^+).

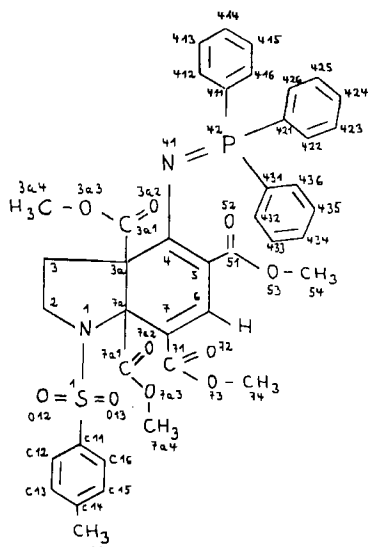


Strukturbestimmung von **8a**^{a)}

Einkristalle von 2,3,3a,7a-Tetrahydroindol **8a** werden nach der Methode von Jones¹⁶⁾ durch Lösen einer geringen Menge in ca. 3 ml Dichlormethan in der Kälte und Überschichten mit 2 ml Pentan in einigen Tagen bei Raumtemp. erhalten.

Tab. 5. Ortskoordinaten der Atome von **8a** (Standardabweichungen in Klammern)

Atom	x	y	z
N(1)	0.57423(42)	0.18979(33)	0.25691(34)
C(2)	0.49161(58)	0.21421(47)	0.34801(47)
C(3)	0.51906(51)	0.32758(44)	0.31124(44)
C(3A)	0.65684(48)	0.34853(39)	0.22996(40)
C(4)	0.75435(48)	0.31872(37)	0.28275(38)
C(5)	0.85360(49)	0.26443(38)	0.24540(39)
C(6)	0.87374(51)	0.24642(38)	0.15201(41)
C(7)	0.78552(51)	0.25645(40)	0.10923(40)
C(7A)	0.65299(49)	0.27874(39)	0.16873(39)
S(1)	0.58270(15)	0.07370(11)	0.26439(12)
O(12)	0.46587(43)	0.02190(33)	0.34826(36)
O(13)	0.61448(46)	0.06953(33)	0.16426(34)
C(11)	0.70988(60)	0.02578(41)	0.30405(46)
C(12)	0.82109(69)	0.00600(47)	0.23478(53)
C(13)	0.91755(72)	-0.03340(52)	0.26974(60)
C(14)	0.90542(70)	-0.05274(46)	0.37091(56)
C(15)	0.79467(71)	-0.03057(50)	0.43742(53)
C(16)	0.69605(65)	0.00827(48)	0.40585(48)
C(141)	1.01351(86)	-0.09784(63)	0.40470(75)
(3A1)	0.68733(60)	0.46154(44)	0.16616(46)
(3A2)	0.81167(40)	0.48180(30)	0.10415(34)
(3A3)	0.61189(46)	0.52252(33)	0.17426(36)
(3A4)	0.85375(77)	0.58595(51)	0.04248(63)
(41)	0.72965(42)	0.35890(34)	0.35538(34)
(42)	0.80463(14)	0.39842(10)	0.40710(11)
(411)	-0.02428(52)	0.42058(41)	0.34295(43)
(412)	0.02329(61)	0.47086(47)	0.23626(48)
(413)	0.15411(64)	0.49183(53)	0.18021(54)
(414)	0.23698(65)	0.46361(53)	0.23082(60)
(415)	0.18972(60)	0.41206(52)	0.33799(55)
(416)	0.05992(57)	0.39104(46)	0.39305(48)
(421)	0.75904(53)	0.32361(41)	0.56175(42)
(422)	0.77465(67)	0.36308(47)	0.61005(46)
(423)	0.73441(79)	0.30582(56)	0.71487(52)
(424)	0.67538(74)	0.21067(55)	0.75222(53)
(425)	0.65870(66)	0.17025(50)	0.68618(52)
(426)	0.70021(56)	0.22669(43)	0.58041(46)
(431)	0.75446(56)	0.52278(40)	0.40014(42)
(432)	0.83019(70)	0.59261(46)	0.40499(50)
(433)	0.79002(87)	0.68877(51)	0.39849(58)
(434)	0.67760(90)	0.71458(55)	0.38613(62)
(435)	0.60231(78)	0.64518(58)	0.38084(70)
(436)	0.64084(64)	0.54996(50)	0.38807(56)
C(51)	0.94352(52)	0.22692(38)	0.29735(44)
O(52)	1.05612(38)	0.20939(34)	0.23308(33)
O(53)	0.92080(39)	0.21088(31)	0.38733(32)
C(54)	1.14948(64)	0.17125(57)	0.27831(60)
C(71)	0.81336(60)	0.24299(46)	0.00998(44)
O(72)	0.73943(45)	0.24995(39)	-0.03150(34)
O(73)	0.93522(46)	0.22371(44)	-0.03148(36)
C(74)	0.97287(89)	0.21443(86)	-0.13094(64)
C(7A1)	0.58450(52)	0.33219(44)	0.09551(43)
O(7A2)	0.61988(40)	0.41571(31)	0.03394(31)
O(7A3)	0.48137(39)	0.27866(31)	0.11120(33)
C(7A4)	0.42470(75)	0.32514(56)	0.03426(61)



* Ergänzt am 10. Januar 1986. – Weitere Einzelheiten zur Kristallstrukturuntersuchung können beim Fachinformationszentrum Energie Physik Mathematik, D-7514 Eggenstein-Leopoldshafen 2, unter Angabe der Hinterlegungsnummer CSD 51624, der Autoren und des Zeitschriftenzitats angefordert werden.

Die Datensammlung erfolgte auf einem Vierkreisdiffraktometer CAD 4 (Enraf-Nonius) mit Graphit-monochromatisierter Mo-K α -Strahlung ($\lambda = 71.1445 \text{ pm}$) im Bereich von $1^\circ \leq \Theta \leq 25^\circ$. Aus dem Zellvolumen von 2.078 nm^3 ergeben sich nach einer nach *Blitz*¹⁷⁾ durchgeföhrten Volumenabschätzung 2 Moleküle Indol **8a** pro Elementarzelle. Insgesamt wurden 6551 symmetrieunabhängige Reflexe vermessen; davon verblieben mit $I \geq 2(I)$ 5426 Reflexe. Die Strukturlösung erfolgte mittels Direkter Methoden (MULTAN 80¹⁸⁾). Zur Strukturverfeinerung diente das Programm SHELX 76¹⁹⁾. Die Lagen aller Wasserstoffatome konnten einer Fourier-Synthese entnommen werden; die Winkel an den CH-, CH₂- und CH₃-Gruppen wurden idealisiert. Eine noch verbleibende Restelektronendichte von $6.73 \cdot 10^3 \text{ Elektronen/nm}^3$ deutete auf einen Lösungsmittelinschluß in der Elementarzelle hin. Sehr hohe Temperaturfaktoren wiesen auf eine Fehlorientierung der Lösungsmittelmoleküle in der Elementarzelle hin, so daß sich ein endgültiger *R*-Wert von 0.0664 ergab. Ergebnisse in Abb. 1 und Tab. 5.

Kristallgröße (mm) $0.4 \times 0.3 \times 0.15$; Kristallsystem triklin; Raumgruppe $P\bar{1}$ (Nr. 2); Summenformel C₄₁H₃₉N₂O₁₀PS; Molekülmasse 782.8; $a = 1132.2(1)$, $b = 1424.9(2)$, $c = 1489.5(2) \text{ pm}$; $\alpha = 69.53^\circ(1)$, $\beta = 67.87^\circ(1)$, $\gamma = 86.70^\circ(1)$; $V = 2.077 \text{ nm}^3$; $d_{r,\text{ber.}} = 1.324 \text{ g} \cdot \text{cm}^{-3}$ (mit Solvensmolekülen); $Z = 2$; $\mu = 2.58 \text{ cm}^{-1}$; „beobachtete“ Reflexe ($I \geq 2(I)$) = 5426; Zahl der verfeinerten Parameter 544; *R*-Wert_{ungegewichtet} = 0.0664.

CAS-Registry-Nummern

1: 86300-25-6 / 2: 86300-37-0 / 3: 96325-53-0 / 3': 96325-54-1 / 4: 101165-70-2 / 5: 96325-57-4 / 8a: 101165-71-3 / 8b: 101165-72-4 / 9: 101165-73-5 / 10a: 101165-74-6 / 10b: 101165-75-7 / 10c: 101165-76-8 / 10d: 101165-77-9 / 11a: 101198-41-8 / 11b: 101165-78-0 / 12: 38727-98-9 / 13: 101165-79-1 / 14: 101165-80-4 / 15: 101165-81-5 / 4-Me-TAD: 13274-43-6 / 4-Ph-TAD: 4233-33-4 / MeOCOC≡CCOOMe: 762-42-5 / EtOCOC≡CCOOEt: 762-21-0 / PhNCO: 103-71-9

¹⁾ 40. Mitteil.: *H. Wamhoff, H. A. Thiemig, H. Puff und E. Friedrichs*, Chem. Ber. **118**, 4782 (1985). – Zugleich 9. Mitteil. der Reihe: Heterocyclensynthese mit Dihalogentriphenylphosphoranen; 8. Mitteil.; Lit.²⁾.

²⁾ *H. Wamhoff, W. Schupp, A. Kirfel und G. Will*, J. Org. Chem. **51**, 149 (1986).

³⁾ Aus den Dissertationen *G. Hendrikx*, Univ. Bonn 1983, und *F. J. Faßbender*, Univ. Bonn 1985/86.

⁴⁾ *H. Wamhoff und G. Hendrikx*, Chem. Ber. **118**, 863 (1985). Zur Cycloaddition offenkettiger und cyclischer Enamine mit Acetylenestern vgl. *G. A. Berchtold und G. F. Uhlig*, J. Org. Chem. **28**, 1459 (1963); *K. C. Brannock, R. D. Burpitt, V. W. Goodlett und J. G. Thweatt*, ebenda **29**, 818 (1964).

⁵⁾ *H. Matsunaga, M. Sonoda, Y. Tomioka und M. Yamazaki*, Chem. Pharm. Bull. **32**, 2596 (1984) [Chem. Abstr. **101**, 229657 (1984)].

⁶⁾ *H. Wamhoff, G. Haffmanns und H. Schmidt*, Chem. Ber. **116**, 1691 (1983).

⁷⁾ Für Cyanine: *R. Radeglia, E. Gey, T. Steiger, S. Kulpe, R. Lück, M. Ruthenberg und M. Stierl*, J. Prakt. Chem. **316**, 766 (1974); für 4-(Dimethylamino)pentadienal: *E. Breitmaier und W. Voelter*, ¹³C NMR Spectroscopy, 3rd. ed., VCH-Verlagsgesellschaft, Weinheim, vor- gesehen für 1987.

⁸⁾ *R. M. Acheson, A. R. D. Knott, D. J. M. Lucas, P. A. Tasker und G. Paglietti*, J. Chem. Soc., Perkin Trans. 1 **1980**, 81.

⁹⁾ *H. Wamhoff, F. J. Faßbender, F. Knoch und R. Appel*, Chem. Ber. **119**, (1986), im Druck.

^{10a)} *L. S. Hegedus, G. F. Allen, J. J. Bozell und E. L. Waterman*, J. Am. Chem. Soc. **100**, 5800 (1978); *R. Odle, B. Blevins, M. Ratcliff und L. S. Hegedus*, J. Org. Chem. **45**, 2709 (1980). – ^{10b)} *R. Weider, L. S. Hegedus, H. Asada und S. V. D'Andrea*, J. Org. Chem. **50**, 4276 (1985); *L. S. Hegedus, T. A. Mulhern und A. Mori*, ebenda **50**, 4282 (1985). – ^{10c)} *A. Yamashita, T. A. Scallion und A. Toy*, Tetrahedron Lett. **26**, 2969 (1985).

¹¹⁾ *H. Wamhoff, H. W. Dürbeck und P. Sohár*, Tetrahedron **27**, 5873 (1971); *H. Wamhoff*, Adv. Heterocycl. Chem. **38**, 299 (1985).

- ¹²⁾ *H. Wamhoff und K. Wald*, Org. Prep. Proc. Int. **7**, 251 (1975); *H. Wamhoff und G. Kunz*, Angew. Chem. **93**, 832 (1982); Angew. Chem., Int. Ed. Engl. **20**, 797 (1981); *Bayer AG* (Erf. *H. Wamhoff und G. Kunz*), Ger. Offen. DE 3.244.658 (7. 6. 1984) [Chem. Abstr. **101**, 191 946 (1984)]; *Bayer AG* (Erf. *F. Jonas, R. Merten, H. Wamhoff und G. Kunz*), Ger. Offen. DE 3.244.657 (7. 6. 1984) [Chem. Abstr. **101**, 211 149 (1984)].
- ¹³⁾ *E. Koerner von Gustorf, D. V. White, B. Kim, D. Hess und J. Leitich*, J. Org. Chem. **35**, 1155 (1970); *R. W. Hoffmann*, Angew. Chem. **84**, 306 (1972); Angew. Chem., Int. Ed. Engl. **11**, 324 (1972); *D. J. Pasto und F. T. Chen*, Tetrahedron Lett. **1973**, 713; *H. Wamhoff und K. Wald*, Chem. Ber. **110**, 1699 (1977); *C. A. Seymour und F. D. Greene*, J. Am. Chem. Soc. **102**, 6384 (1980). – Zum Mechanismus: Vgl. *J. H. Hall und M. L. Jones*, J. Org. Chem. **48**, 822 (1983); *C. C. Cheng, C. A. Seymour, M. A. Pettit, F. D. Greene und J. F. Blount*, J. Org. Chem. **49**, 2910 (1984), und dort zit. Lit.
- ¹⁴⁾ *W. H. Pirkle und J. C. Stickler*, J. Chem. Soc., Chem. Commun. **1967**, 760; *H. Wamhoff und K. Wald*, Chem. Ber. **110**, 1716 (1977).
- ¹⁵⁾ *K. Wald und H. Wamhoff*, Chem. Ber. **111**, 3519 (1978); *K. B. Wagener, S. R. Turner und G. B. Butler*, J. Polym. Sci. Polym. Lett. Ed. **1972**, **10**, 805; *P. Ashkenazi, R. D. Macfarlane, W. A. Oertling, H. Wamhoff, K. Wald und D. Ginsburg*, Angew. Chem. **92**, 970, 972 (1980); Angew. Chem., Int. Ed. Engl. **19**, 933, 936 (1980).
- ¹⁶⁾ *P. G. Jones*, Chem. Br. **1981**, 222.
- ¹⁷⁾ *W. Biltz*, Raumchemie der festen Stoffe, Verlag Leopold Voss, Leipzig 1934.
- ¹⁸⁾ *P. Main, S. J. Fiske, S. E. Hull, L. Lessinger, G. Germain, J. P. Declercq und M. M. Woolfson*, MULTAN 80: A system of computer programs for the automatic solution of crystal structures from X-ray diffraction data. York 1980.
- ¹⁹⁾ *G. M. Sheldrick*, SHELLX-76, Program for Crystal Structure Determination, Cambridge 1976.
- ²⁰⁾ *S. F. Nelsen und D. L. Kapp*, J. Am. Chem. Soc. **107**, 5548 (1985).

[101/85]